

Compte rendu de TP Mini-stage Scilab/latex

Alexandre Petit

T rence Marchal

Olivier brun

Pour le 22 Novembre 2017

1 Sensibilisation   l'arithm tique machine

1.1 Exercice 1

1.1.1 Programme de test

```
--> x = 1e30
--> y = 1e-8
--> z = ((y + x) - x) / y
--> w = (y + (x - x)) / y
```

1.1.2 Analyse des r sultats

On rappelle que dans scilab, les nombres r els sont repr sent s par un nombre flottant dont la mantisse est cod e sur 52 bits et l'exposant sur 11 bits. On remarque que $2^{52} \approx 4 \times 10^{15}$, en d'autres termes, cette repr sentation permet d'atteindre approximativement 16 chiffres repr sentatifs (d cimaux).

Dans le calcul de z , l'op ration $y + x$ donne, en notation d cimale

$$x + y = 1000000000000000000000000000000,00000001$$

Cette valeur pr sente 39 chiffres significatifs, ce qui est bien au del  des capacit s de repr sentation en double pr cision.

De fait, dans $x + y$, y se trouve absorb  (par sa faible pond ration), et l'on obtient $x + y = x$ bien que y soit non nul.

Dans le calcul de w , l'op ration $x - x$ produit un z ro, calculer w revient alors   diviser y par lui m me, ce qui donne 1, le calcul est correct.

1.2 Exercice 2

Pour cet exercice, deux implantations des calculs sont propos es. Les r sultats sont identiques par chaque m thode. La premi re est imm diate. La seconde, r cursive, permet

de suivre l'évolution des calculs pas à pas.

Posons

$$— \text{recursive_root}(x, n) = \sqrt{\sqrt{\sqrt{\dots \sqrt{x}}}} \text{ (n fois)}$$

$$— \text{recursive_power}(x, n) = ((\dots ((y^2)^2) \dots)^2)^2 \text{ (n fois)}$$

L'étude de limite de la fonction racine récursive donne :

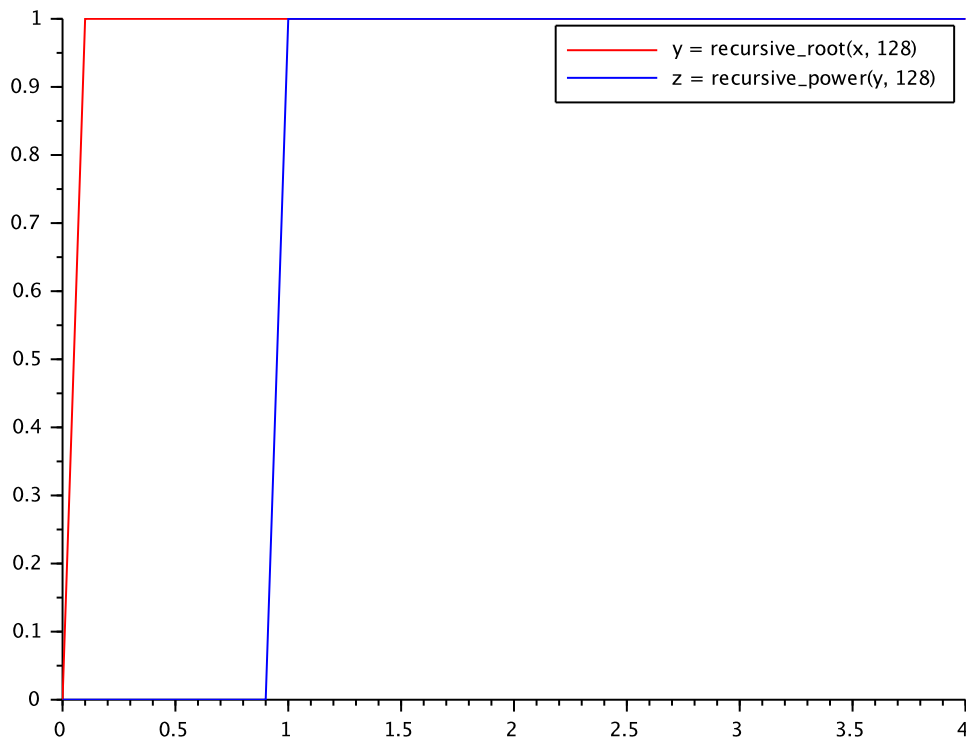
$$\lim_{n \rightarrow +\infty} \text{recursive_root}(x, n) = \begin{cases} 0 & \text{si } x \in \{0, 1\} \\ 1 & \text{si } x \in [0, 1] \end{cases}$$

L'étude de limite de la fonction puissance récursive donne :

$$\lim_{n \rightarrow +\infty} \text{recursive_power}(x, n) = \begin{cases} 0 & \text{si } x < 1 \\ 1 & \text{si } x = 1 \\ \infty & \text{si } x > 1 \end{cases}$$

1.2.1 Représentation graphique

Tracé des courbes pour x allant de 0 à 4 avec un pas de 0.1.



1.2.2 Analyse des résultats

Afin de visualiser les étapes de calcul, lançons la commande `recursive_root(x, n)` avec la valeur scalaire $x = 4$ au rang $n = 128$.

```
--> recursive_root(4, 128)
2.
1.4142136
1.1892071
1.0905077
1.0442738
1.0218971
1.0108893
1.0054299
1.0027113
1.0013547
1.0006771
1.0003385
1.0001692
1.0000846
1.0000423
1.0000212
1.0000106
1.0000053
1.0000026
1.0000013
1.0000007
1.0000003
1.0000002
1.0000001
1.
1.
1.
1.
1.
1.
...
```

On observe qu'au fil des itérations, la fonction tends vers 1 jusqu'à venir s'écraser sur cette valeur (ici lors de la 26e itération). Autrement dit, la valeur est tellement proche de 1 que la machine ne peut plus représenter : Soit y_i la valeur prise lors de la i^{ime} itération, on a :

$$1 < y_i < 1 + 10^{-16} \quad \forall i = 26, \dots, 128$$

// Impossible à redresser / inverser

1.3 Exercice 3

On rappelle la définition de l'intégrale étudiée dans cet exercice :

$$I_n = \int_0^1 x^n e^x dx$$

1.3.1

On donne une formule de récurrence de I_n , pour tout $n \geq 0$

$$\begin{cases} I_0 = e - 1 \\ I_{n+1} = e - (n+1)I_n \end{cases}$$

1.3.2

Effectuons le développement en série de l'intégrale :

$$\begin{aligned} I_{20} &= \int_0^1 x^{20} \sum_{k=0}^{\infty} \frac{x^k}{k!} dx \\ &= \sum_{k=0}^{\infty} \int_0^1 \frac{x^{k+20}}{k!} dx \\ &= \sum_{k=0}^{\infty} \frac{1}{k!(k+21)} \end{aligned}$$

D'où $I_{20} \approx \sum_{k=0}^N \frac{1}{k!(k+21)}$ pour N suffisamment grand.

1.4 Exercice 4

Méthode des rectangles :

$$\int_0^1 f(t) dt \approx \frac{1}{n-1} \sum_{k=0}^{n-1} f(k)$$

On applique à $f : x \mapsto x^{20}e^x$ avec SCILAB.

2 Etude du phénomène de Gibbs

2.1 Exercice 5

On étudie une fonction $f : \mathbb{R} \rightarrow \mathbb{R}$ de période $T = 1$. En vue de calculer la série de Fourier de f , on calcule les coefficients $a_n(f)$.

$$\begin{aligned} a_0(f) &= \int_{-\frac{1}{2}}^{\frac{1}{2}} f(t).dt \\ &= \int_{-\frac{1}{2}}^0 f(t).dt + \int_0^{\frac{1}{2}} f(t).dt \\ &= \int_{-\frac{1}{2}}^0 (-1).dt + \int_0^{\frac{1}{2}} 1.d t \\ &= 0 \end{aligned}$$

De par la parité de la fonction cosinus, on a :

$$\begin{aligned} a_n(f) &= 2 \int_{-\frac{1}{2}}^{\frac{1}{2}} f(t) \cos(2\pi n t).dt \\ &= 0 \end{aligned}$$

Enfin,

$$\begin{aligned} b_n(f) &= 2 \int_{-\frac{1}{2}}^{\frac{1}{2}} f(t) \sin(2\pi n t) dt \\ &= 4 \int_0^{\frac{1}{2}} \sin(2\pi n t) dt \\ &= 2 \left[\frac{\cos(2\pi n t)}{\pi n} \right]_{\frac{1}{2}}^0 \\ &= 2 \times \frac{1 - \cos(n\pi)}{\pi n} \end{aligned}$$

La fonction f n'est pas continue en 0. Autrement, pour tout $x \in]-\frac{1}{2}; \frac{1}{2} \setminus \{0\}$, les calculs préliminaires des coefficients nous donnent

$$\begin{aligned} f(x) &\stackrel{def}{=} a_0(f) + \sum_{n=1}^{\infty} a_n(f) \cos\left(2\pi \frac{n}{T} t\right) + b_n(f) \sin\left(2\pi \frac{n}{T} t\right) \\ &= \sum_{n=1}^{\infty} 2 \times \frac{1 - \cos(n\pi)}{\pi n} \sin(2\pi n x) \\ &= \frac{4}{\pi} \sum_{n=0}^{\infty} \frac{\sin(2\pi n x (2n + 1))}{2n + 1} \end{aligned}$$

2.2 Exercice 6

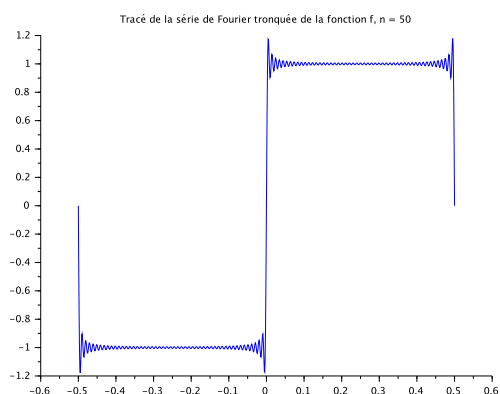
On calcul la somme partielle de la fonction f obtenue dans l'exercice précédent.



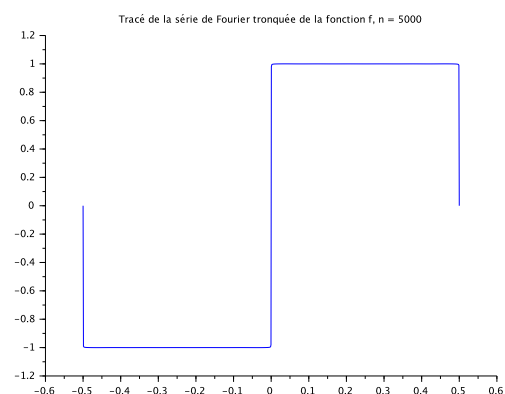
$n = 1$



$n = 5$



$n = 50$



$n = 5000$

On remarque que la transformée de fourier de f approche fortement f lorsque n est suffisamment grand.

3 Théorème de Gerschgorin

3.1 Exercice 7

3.1.1 Démonstration du théorème

Soit $A = (a_{ij})_{1 \leq i, j \leq N} \in \mathcal{M}_N(\mathbb{C})$, $\lambda \in Sp(A)$ et $v = (v_i)_{1 \leq i \leq N}^T$ un vecteur propre de A associé à λ . On a, pour tout k :

$$\lambda v_k = \sum_{i=1}^N a_{ik} v_i \quad (1)$$

Soit :

$$(\lambda - a_{kk})v_k = \sum_{i=1, i \neq k}^N a_{ik}v_i \quad (2)$$

D'où (inégalité triangulaire) :

$$|\lambda - a_{kk}||v_k| \leq \sum_{i=1, i \neq k}^N |a_{ik}||v_i| \quad (3)$$

Prenons alors k tel que $v_k = \max_i |v_i| \neq 0$ car v est un vecteur propre. Il vient alors, puisque $v_i \leq v_k$ pour tout i :

$$|\lambda - a_{kk}||v_k| \leq |v_k| \sum_{i=1, i \neq k}^N |a_{ik}| \quad (4)$$

D'où le résultat.

3.1.2 Visualisation des disques de Gerschgorin

Considérons la matrice suivante

$$A = \begin{pmatrix} 1+i & i & 2 \\ 3 & 2+i & 1 \\ 1 & i & 6 \end{pmatrix}.$$

et traçons les disques de Gerschgorin qui lui sont associés.

3.1.3 Vérification de l'appartenance des valeurs propres aux disques

On utilise la commande $\text{spec}(A)$ pour connaître ses valeurs propres. On constate graphiquement qu'elles sont bien dans les disques

4. Soit A à diagonale strictement dominante

En effet, posons $E_k = \{z \in \mathbb{C}, |z - a_{kk}| < |a_{kk}|\}$, il est clair que $0_{\mathbb{C}} \notin \bigcup_{k=1}^N E_k$

On a également $D_k \subseteq E_k$ pour tout k

Par suite : $\text{Sp}(A) \subseteq \bigcup_{k=1}^N D_k \subseteq \bigcup_{k=1}^N E_k$ donc $0_{\mathbb{C}} \notin \text{Sp}(A)$

Donc A est inversible.

